

# مدلسازی و بررسی افزایش تولید و کاهش مصرف انرژی در تهیه گندله در صنایع فولاد

علی اصغر حمیدی

استادیار گروه مهندسی شیمی - دانشکده فنی - دانشگاه تهران

حسن پایاب

فارغ التحصیل مهندسی انرژی - واحد علوم و تحقیقات - دانشگاه آزاد اسلامی

(تاریخ دریافت ۸۱/۹/۲۷ ، تاریخ تصویب ۸۳/۱۱/۲۴)

## چکیده

مدل ریاضی در پایلوت پلنت واحد گندله سازی با درنظر گرفتن واکنشهای سنگ آهک، مگنتیت و کربن در گندله ارائه می شود. معادلات دیفرانسیل جرم، انرژی و مومنتوم بصورت همزمان حل می شوند. تغییرات درجه حرارت، فشار و غلظت بر حسب ارتفاع بستر با نتایج تجربی مراحل مختلف شامل خشک شدن، پخت و سرد شدن گندله ها مقایسه می شوند. درصد سنگ آهک در گندله تا حصول بازیسیمه مناسب (B<sub>4</sub>) و حداکثر احیاپذیری و حداقل چسبندگی تغییر داده می شود. برای افزایش تولید و کاهش مصرف انرژی در سه حالت از کک استفاده شده است. در حالت اول با افزودن مقادیر مختلف کک به گندله درجه حرارت گاز ورودی به بستر کاهش داده می شود. در حالت دوم علاوه بر کاهش درجه حرارت، زمان گندله سازی نیز کاهش داده می شود. در حالت سوم علاوه بر موارد مذکور تزریق اکسیژن به کوره نیز انجام می شود و میزان پتانسیل افزایش تولید و کاهش مصرف انرژی معین می گردد.

**واژه های کلیدی :** مدلسازی، گندله سازی، کاهش انرژی، افزایش تولید، سنگ آهن، کک

## مقدمه

فهم و توسعه واحدهای موجود و طراحی های جدید کمک می کند. در این راستا مدلسازی جهت بهبود فرایند تولید گندله و استفاده از سوت خامد کک در گندله انجام شده است و نتایج تجربی با مدل مقایسه شده است. هدف اصلی در این تحقیق کاهش مصرف انرژی و بررسی پارامترهایی از قبیل خشک کردن گندله ها، اکسیداسیون مگنتیت، اکسیداسیون کربن و تکلیس سنگ آهک در فرایند گندله سازی می باشد. در داخل گندله ها مقاومت های انتقال حرارت و جرم ناشی از هدایت حرارتی و نفوذ جرم درنظر گرفته می شوند.

## روش تحقیق

مواد اولیه از قبیل سنگهای آهن Carajas، Ferteco CVRD از کشور بزریل، گل گهر سیرجان، چادرملوی یزد و افزودنیها بنتونیت، آهک و کک می باشند. تولید گندله

در حال حاضر در کشور ایران و سایر کشورهای دنیا تولید فولاد با استفاده از واحدهای گندله سازی و میدرکس در حال گسترش است در طرح پنج ساله سوم مرز تولید فولاد واحدهای صنعتی به ۱۲/۵ میلیون تن در سال خواهد رسید به همین منظور تولید فولاد با حداقل هزینه های ممکن و حفظ کیفیت محصول ضروری می باشد. در شرکت فولاد خوزستان انرژی با سهمی در حدود ۱۵ درصد کل هزینه تمام شده فولاد بعنوان شاخص اصلی در کاهش هزینه ها مدنظر می باشد. گندله سازی یکی از واحدهای مهم شرکت فولاد خوزستان می باشد که در آن گندله از سنگ آهن تغليظ شده در ديسکهای دور بصورت گندله خام تهیه شده و سپس جهت تامین استحکام لازم و اکسیداسیون گندله ها وارد سیستم کوره پخت می شود. گندله ها پس از طی مراحل خشک شدن، پخت و خنک سازی به واحدهای احیاء مستقیم جهت احیاء انتقال داده می شوند. مدل ریاضی به

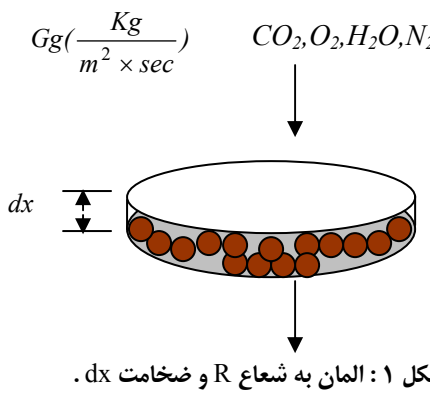
در گندله از صفر الی ۱/۵ درصد تغییر می کند. هدف از تهیه گندله با استفاده از کک کاهش مصرف انرژی و درجه حرارت گازهای ورودی به بستر می باشد. بدلیل انجام واکنشهای حرارت زا ناشی از سوختن کک و همچنین واکنشهای اکسیداسیون مانگنتیت به هماتیت سعی شده است که حد مناسب کک در گندله بددست آید. گندله ها بوسیله جریان گازهای داغ از پایین بستر به سمت بالا در مدت زمان ۵ دقیقه خشک می شوند. در انتهای زمان پخت در حالتی که درصد کربن در گندله صفر درصد باشد درجه حرارت گازهای ورودی تا  $1340^{\circ}\text{C}$  افزایش می یابد. افزودن کربن سبب افزایش دما در مرکز گندله می شود لذا درجه حرارت موردنیاز گازهای ورودی برای پخت گندله ها وقتی درصد ترکیب کربن  $0/75$  درصد کربن در گندله مقایسه می شوند. آزمایشها در سه حالت ذیل دنبال می شوند و مقدار کاهش مصرف انرژی و پتانسیل افزایش تولید، همچنین کیفیت فیزیکی و شیمیایی گندله بررسی می گردد:

- ۱ - افروden کک به گندله ها و کاهش درجه حرارت گازهای ورودی به بستر
- ۲ - افروden کک به گندله ها و کاهش درجه حرارت گازهای ورودی به بستر و کاهش زمان گندله سازی
- ۳ - افروden کک به گندله ها و کاهش درجه حرارت گازهای ورودی به بستر و کاهش زمان گندله سازی همراه با تزریق اکسیژن به کوره.

### مروری بر تحقیقات گذشته

در پایلوت پلت پدیده های فیزیکی و شیمیایی همانند واحد گندله سازی مدل می شوند. همانطوریکه گندله ها از یک ناحیه به ناحیه دیگر انتقال می یابند تغییرات فیزیکی و واکنشهای شیمیائی همزمان با انتقال جرم و حرارت بین فاز گاز و گندله های در حین خشک شدن، فایرینگ و سردشدن گندله ها اتفاق می افتد. مدلهایی جهت تولید گندله در منابع مختلف به شرح ذیل ارائه شده است. [۱] Dianbing Hung در گندله درنظر گرفته است و از واکنشهای سنگ آهک را در گندله صرف نظر نموده است. [۲] Chejne و مانگنتیت در گندله صرف نظر نموده است. [۳] J.H.Voskamp در گندله های سنگ آهک، کربن و خشک شدن رطوبت درجه حرارت و غلظت در داخل گندله ها را صرف نظر کرده

با استفاده از سنگهای مذکور در یک پایلوت پلت<sup>۱</sup> شرکت فولاد خوزستان انجام شده است. این کوره توانائی تولید گاز و درجه حرارت موردنیاز برای پخت گندله ها به همان شماتیک واحد پایلوت پلت در شکل (۳۱) رسم شده است. ظرفیت کوره در حدود ۵۰ کیلوگرم گندله می باشد. ارتفاع کل گندله ها در کوره  $40$  سانتیمتر است و  $10$  سانتیمتر آن گندله های پخته شده<sup>۲</sup> می باشد که در کف کوره ریخته می شود. هدف از استفاده گندله های پخته در کف کوره در واحد گندله سازی جلوگیری از افزایش دمای بیش از حد پالتها و گریت بارها می باشد. ارتفاع گریت بار کف کوره پایلوت پلت  $2$  سانتیمتر است. قطر داخلی کوره  $26$  سانتیمتر بوده و بوسیله آجرسوز به ضخامت  $12$  سانتیمتر عایق بندی شده است. جهت جریان گازهای ورودی با تغییر محل محفظه احتراق تغییر می کند این کوره به تجهیزاتی از قبیل کنترل کننده دبی حجمی، درجه حرارت و فشار مجهز می باشد توسط تجهیزات نصب شده مقادیر دبی گازهای ورودی و خروجی کوره، دما در نقاط مختلف بستر، افت فشار بستر و آنالیز درصد ترکیب گازهای خروجی از کوره اندازه گیری می شود. هوای اضافه جهت ایجاد یک محیط اکسید کننده در بستر گندله ها از جداره جانبی کوره<sup>۳</sup> وارد بستر گندله ها می شود. در حین پخت مراحل مختلف جریان گاز از پایین به بالا<sup>۴</sup> و یا از بالا به پایین<sup>۵</sup> عوض می شود. این عمل بوسیله جابجا کردن در محفظه احتراق و استفاده از مسیرها و شیرهای موجود در مسیر گازها ممکن می گردد. دبی حجمی هوا و گاز دودکش<sup>۶</sup> بوسیله دبی سنج از نوع اریفیس، دبی حجمی گاز طبیعی بوسیله کنتور از نوع توربینی و درصد ترکیب گازهای خروجی از بستر بوسیله آنالیزور پرتاپل ۴۵۰ Testo اندازه گیری می شود. خصوصیات فیزیکی، شیمیایی، و مینرالوژی مواد اولیه از اهمیت زیادی برخوردار می باشد. جهت بددست آوردن بازیسته (B<sub>4</sub>) مناسب برای حداکثر متالیزاسیون و استحکام گندله و حداقل چسبندگی، مقدار آهک بین صفر تا  $3/5$  درصد تغییر می کند و محدوده مناسب برای برای بازیسته برابر  $0/6$  الى  $0/7$  حاصل می شود. البته پارامترهای دیگری از قبیل میزان سایش<sup>۷</sup> و درصد خلل و فرج<sup>۸</sup> گندله نیز درنظر گرفته می شوند. جهت کاهش مصرف انرژی کک به گندله افزوده می شود. میزان کک



شکل ۱: المان به شعاع R و ضخامت dx.

### معادله ارگان جهت محاسبه افت فشار

با استفاده از دبی حجمی گازهای ورودی به بستر و خصوصیات فیزیکی گاز میزان افت فشار گاز از بستر محاسبه می شود.

$$\frac{dp}{dz} = \left[ \frac{150(1-\varepsilon)^2 \cdot \mu_g}{d^2 \varepsilon \cdot \rho_g} \cdot G + 1.75 \frac{G^2(1-\varepsilon)}{d\varepsilon^3 \cdot \rho_g} \right] \quad (1)$$

### موازنۀ انرژی فاز گاز

جريان گاز در حین عبور از بستر گندله ها تبادل حرارت می کند. با درنظر گرفتن موازنۀ انرژی در فاز گاز برای المان نشان داده شده در شکل (۱) رابطه ذیل بدست می آید.

(انرژی گاز ورودی در مقطع X) – (انرژی گاز خروجی در مقطع X + ΔX) – (تبادل انرژی با گندله ها) = تغییر انرژی گاز موجود در المان مربوطه در واحد زمان

$$C_g \cdot G \frac{\partial T_g}{\partial X} = -h \cdot a (T_g - T_p) \quad (2)$$

تغییرات انرژی فاز گاز نسبت به زمان در مقایسه با سایر ترمها قابل صرفنظر می باشد [۸].

### موازنۀ انرژی در گندله

گندله ها در معرض جريان گاز داغ قرار دارند و درجه حرارت آنها رو به افزایش است. گرادیان درجه حرارت در داخل گندله ها نقش مهمی در زمان موردنیاز برای پخت دارد. درنظر گرفتن گرادیان درجه حرارت در جهت شعاع در داخل گندله ها امکان بررسی دقیقتر انجام واکنشها را

است. همچنین کربن را به عنوان یک ماده اضافه شونده به گندله درنظر نگرفته و تبخیر رطوبت گندله ها را فقط از سطح گندله در نظر گرفته است. در این حالت انتقال رطوبت بصورت حرکت کاپیلار آب از داخل گندله به سطح آن صورت می گیرد ولی وقتی مقدار رطوبت در گندله به زیر مقدار بحرانی برسد فرض درستی نمی باشد. [۹] Karl Heinz مدلی برای پروسس واحد گندله سازی با اضافه کردن کک به گندله بدون درنظر گرفتن اثرات R.W. Young [۱۱] مدلی برای سیستم Kiln Cooler ارائه کرده است که پدیده خشک شدن همراه با واکنشهای سنگ آهک و اکسیداسیون ماقنثیت را به کمک روش Shrinking core ارائه نموده است. [۵] J.R. Wynnyckyj اکسیداسیون ماقنثیت، کک و خشک شدن گندله ها را بدون درنظر گرفتن کلسانینه شدن سنگ آهک بررسی نموده است. همچنین انتقال حرارت بین گاز و جامد را درنظر گرفته ولی از گرادیان درجه حرارت و غلظت در داخل گندله ها صرفنظر کرده است و پدیده خشک کردن گندله ها را بصورت مختصر بررسی کرده است.

در تحقیق کنونی موارد ذیل مورد بررسی قرار گرفته است. تبخیر رطوبت ابتدا در سطح گندله صورت می گیرد و سپس در حالت بحرانی، گندله بصورت لایه لایه خشک می شود و تبخیر رطوبت به سمت داخل گندله پیشرفت می کند. متعاقباً واکنشهای سنگ آهک، ماقنثیت و کک صورت می پذیرد در تمامی واکنشها سه مرحله اساسی کنترل واکنش از قبیل دیفیوژن از لایه فیلم گاز اطراف گندله، دیفیوژن در داخل گندله و واکنش شیمیائی درنظر گرفته می شود. میزان پتانسیل صرفه جوئی انرژی و افزایش تولید همچنین کیفیت فیزیکی و شیمیایی گندله بررسی می گردد.

### مدلسازی ریاضی

در طی فرایند پخت گندله دمای سطح گندله دمای سطح گندله ها از ۲۵ تا ۱۳۴۰ درجه سانتیگراد برحسب زمان متغیر است. لذا حجم گاز طبیعی ورودی و نهایتاً حجم گازهای حاصل از احتراق متغیر خواهد شد. مطابق شکل ذیل یک المان به شعاع R و ضخامت dx حاوی گندله ها جهت موازنۀ جرم و انرژی درنظر گرفته میشود.

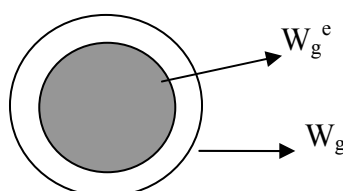
### معادلات مربوط به خشک شدن گندله

آب در داخل گندله ابتدا بصورت مایع از خلل و فرج گندله به سطح گندله و از آنجا بصورت بخار به فاز گاز در اثر گرادیان غلظت منتقل می‌شود. گاز مجاور گندله بصورت بخار اشباع فرض می‌شود. در حالت بحرانی در حین خشک شدن گندله، هسته مربوط لحظه به لحظه کوچکتر شده تا نهایتاً به صفر برسد در این حالت گندله کاملاً خشک شده است. بنابراین معادلات تبخیر رطوبت گندله در دو حالت بالای مقدار بحرانی و زیر مقدار بحرانی متفاوت خواهد بود.

موازنۀ جرم برای افزایش میزان رطوبت گاز و کاهش رطوبت گندله‌ها در حالت بالای مقدار بحرانی برای المان نشان داده شده در شکل (۱) به شرح ذیل می‌باشد:  
مقدار بخار آب گاز خروجی – مقدار بخار آب گاز ورودی =  
تغییرات مقدار آب در المان مربوطه

$$\frac{G}{\rho_g} \cdot \frac{\partial W_g}{\partial X} = (1 - \varepsilon) \cdot \frac{\partial W_p}{\partial t} \quad (5)$$

اصولاً خشک شدن گندله را می‌توان به دو مرحله تقسیم کرد: مرحله اول خشک کردن گندله بالای مقدار رطوبت بحرانی و مرحله دوم کمتر از مقدار رطوبت بحرانی است. در مرحله اول تغییرات رطوبت گندله برابر مقدار رطوبتی است که در اثر گرادیان غلظت بخار آب از سطح گندله به فاز گاز منتقل می‌شود.



شکل ۲: لایه موزی اطراف گندله (بالای حد بحرانی).

$$-(1 - \varepsilon) \cdot \left( \frac{\partial W_p}{\partial t} \right) = K_m \cdot a \cdot (W_g^e - W_g) \quad (6)$$

a: سطح گندله‌ها به ازای واحد حجم بستر می‌باشد.

$$a = \frac{6(1 - \varepsilon)}{d}; m^2 / m^3$$

در حالت دوم وقتی مقدار رطوبت به زیر مقدار بحرانی

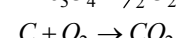
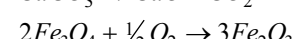
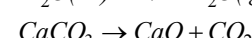
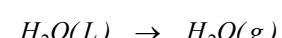
ممکن می‌سازد. با نوشتن موازنۀ انرژی برای المان به شعاع r و ضخامت dr در داخل گندله تغییر درجه حرارت به سمت مرکز گندله بدست می‌آید.

تغییر انرژی در المان مربوطه در داخل گندله = انرژی ناشی از تبخیر + انرژی مصرفی در اثر واکنش + انتقال انرژی هدایتی در فاصله r – انتقال انرژی هدایتی در فاصله r + Δr

$$\begin{aligned} K_p \frac{1}{r^2} \cdot \frac{\partial}{\partial r} \left( r^2 \frac{\partial T_p}{\partial r} \right) + \sum i \cdot \Delta H_i \cdot N_i + \Delta H_U \\ \left( \frac{dw_p}{dt} \right) = P \cdot C_p \frac{\partial T_p}{\partial t} \\ (B.C-1) : K_p \frac{\partial T_p}{\partial r} \Big|_{r=\frac{d}{2}} = h(T_g - T_p) \\ (B.C-2) : \frac{\partial T_p}{\partial r} \Big|_{r=0} = 0 \end{aligned} \quad (3)$$

### موازنۀ جرم

واکنش تبدیل کربنات کلسیم به آهک و گاز دی اکسید کربن و همچنین واکنش تبدیل آهن ماقنستیتی به هماتیتی و سوختن کربن، در زمانهای مختلف پخت انجام می‌شوند. واکنشهای موردنظر براساس سه مرحله انتقال جرم از فاز گاز به سطح جامد، دیفیوژن در داخل جامد و نهایتاً انجام واکنش محاسبه شده اند. معادلات و سرعت واکنشها به شرح ذیل می‌باشند [۱۰، ۱۷].



$$r^\circ Lime = \frac{4\pi r_0^2 (C^{eq}_{CO_2} - C_{CO_2})}{\frac{1}{K_e} + \int \frac{r_0}{r_{l(t)}} J^2 \frac{K_1}{K_1 \cdot R \cdot T_s} + \frac{r_0[r_0 - r(t)]}{r_l(t) \cdot D_s}}$$

$$r^\circ mag = \frac{15\pi r_m(t)^2 (C^{eq}_{O_2} - C_{O_2})}{\frac{1}{K_r} + \frac{r_m^2(t)}{r_0^2 \cdot k_{g_{(O_2)}}} + \frac{r_m(t)}{D_{O_2}} \cdot [1 - \frac{r_m(t)}{r_0}]}$$

$$r^\circ carbon = \frac{4\pi r c(t)^2 (C_{O_2} - C^{eq}_{O_2} / K_{eq})}{\frac{1}{K_r} + \frac{r_c^2(t)}{r_0^2 \cdot k_{g_{(O_2)}}} + \frac{r_c(t)}{D_{O_2}} \cdot [1 - \frac{r_c(t)}{r_0}]}$$

(د) اکسید کربن ورودی به المان در مقطع X ) - (د) اکسید کربن خروجی در مقطع  $X + \Delta X$  ) + (د) اکسید کربن تولیدی در اثر واکنشها = (تغییرات غلظت دی اکسید کربن در المان)

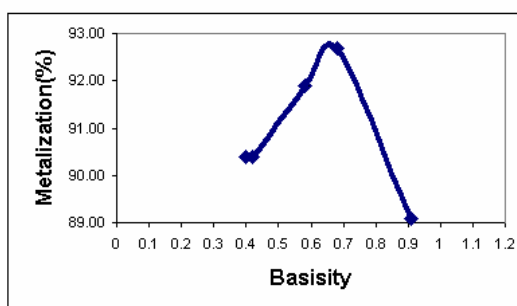
تغییرات غلظت دی اکسید کربن در گاز و گندله در واحد زمان در مجاور سه ترم دیگر قابل صرفنظر می باشد.

$$\frac{G}{\rho_g} \cdot \frac{\partial CO_2}{\partial x} = \{(r^{\circ}_{lime} \cdot N_1 + r^{\circ}_{carbon} (1 - \varepsilon))\}$$

(۹)

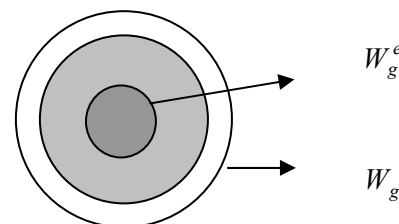
## نتایج و بحث

افزودن سنگ آهک سبب افزایش بازیستیه گندله و کاهش سایش گندله می شود. البته همانطوریکه از اشکال (۴)، (۵) و (۶) نشان داده شده است. بازیستیه مناسب گندله برای ترکیب حداکثر متالیزاسیون و استحکام و حداقل چسبندگی در حدود ۰/۶ - ۰/۷ می باشد. درصد چسبندگی<sup>۹</sup> با بازیستیه سیر صعودی دارد. با استفاده از فیلتر کیک چادرملو برای حد کمینه چسبندگی مقدار بازیستیه برابر ۰/۶۸ بدست می آید. جهت بررسی کیفیت گندله های تولیدی ضمن اضافه کردن کک از ۰ الی ۱/۵ درصد با حفظ بعضی از متغیرهای مستقل مبادرت به تهیه گندله شده است. پخت گندله در سه مرحله مجزا انجام گردیده است. اولین مرحله آن خشک کردن گندله ها بوسیله جریان گاز داغ است که گاز از پایین به بستر وارد شده است. کلیه خواص فیزیکی گندله ها را در لایه های مختلف به فاصله ۱ سانتیمتر در هر ۲ ثانیه محاسبه شده اند. نتایج تجربی با مدل کامپیوترا در اشکال (۷) تا (۱۳) نشان داده شده است.



شکل ۴ : تغییرات متالیزاسیون بر حسب بازیستیه ( تست سبد در واحدهای احیاء مستقیم).

می رسد گندله بصورت لایه لایه خشک می شود تا در نهایت مرز هسته مربوط در گندله به صفر برسد. شکل ذیل خشک شدن گندله را در این حالت نشان می دهد.



شکل ۳ : کاهش رطوبت گندله (پایین حد بحرانی).

معادله خشک شدن گندله براساس نفوذ رطوبت در لایه خشک شده و نهایتاً انتقال به فاز گاز بصورت ذیل می باشد.

$$-(1 - \varepsilon) \cdot \left( \frac{\partial W_p}{\partial t} \right) = \frac{a}{(d/2)^2} * \left( \frac{\frac{((W_g^e(r_c) - W_g))}{d/2 - r_c} + \frac{1}{(d/2)r_c D_{H_2O}}}{\frac{1}{K_m(d/2)^2}} \right)$$

(۷)

## موازنۀ جرم اکسیژن

اکسیژن گاز در اثر اکسیداسیون کربن و سنگ ماقنگنیت در جهت ارتفاع بستر کاهش می یابد. (اکسیژن ورودی به مقطع X ) - (اکسیژن خروجی از مقطع  $X + \Delta X$ ) - اکسیژن مصرفی در اثر واکنشها = تغییرات غلظت اکسیژن در المان

تغییرات غلظت اکسیژن در گاز و گندله در واحد زمان در مجاور سه ترم دیگر قابل صرفنظر کردن است.

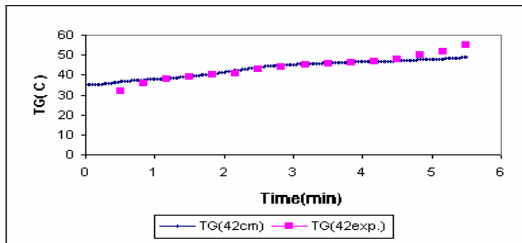
$$\frac{G}{\rho_g} \cdot \frac{\partial CO_2}{\partial x} = \{(r^{\circ}_{mag} / 40 \cdot N_1 + r^{\circ}_{carbon} (1 - \varepsilon))\}$$

(۸)

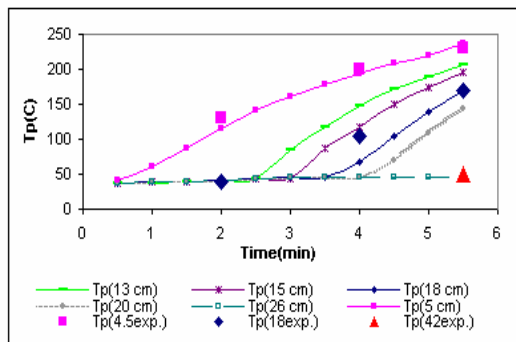
## موازنۀ جرم دی اکسید کربن

ترکیب دی اکسید کربن در واکنش اکسیداسیون کربن و تکلیس سنگ آهک در طول بستر افزایش می یابد.

داده شده است. نتایج درجه حرارت و افت فشار در طی کل زمان پخت (مدت زمان ۲۴ دقیقه) در ارتفاعهای مختلف بستر کوره با نتایج تجربی در اشکال (۱۲) و (۱۳) مقایسه شده است.

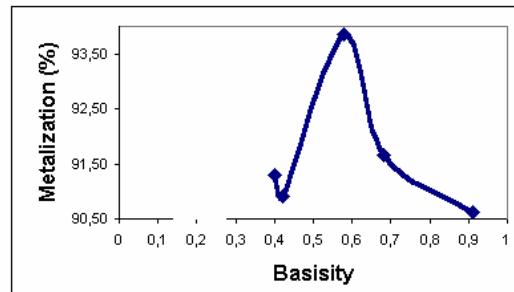


شکل ۸: مقایسه درجه حرارت گاز خروجی از بستر با نتایج تجربی.

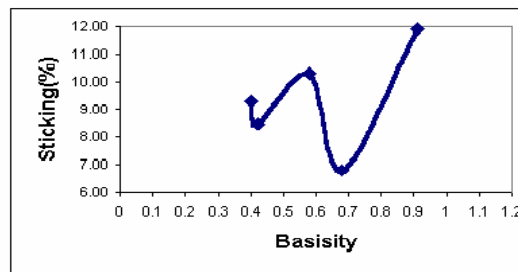


شکل ۹: مقایسه درجه حرارت گندله ها با نتایج تجربی.

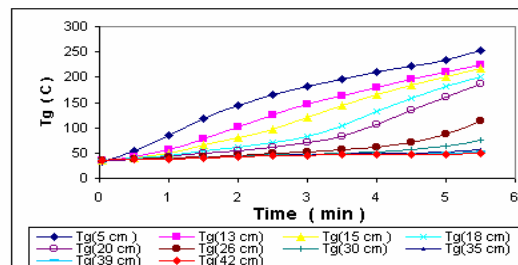
همانطوریکه در شکل (۱۱) نشان داده شده است کاهش رطوبت در گندله ابتدا بصورت بیش از مقدار بحرانی و سپس کمتر از مقدار بحرانی صورت می گیرد. در دو دقیقه اول مرحله Updraft کاهش رطوبت بصورت تبخیر آب از سطح گندله صورت می پذیرد و پس از این مدت در فاصله ۱۳ سانتیمتری از کف کوره اولین لایه گندله خام بصورت لایه لایه شرو به خشک شدن می کند. در فاصله ۴۲ سانتیمتر بالای بستر در مرحله Updraft درصد رطوبت گندله ها کاهش نمی یابد و در مرحله بعدی Downdraft که جهت جریان از بالا به پایین است خشک خواهد شد. زمان شروع و پایان واکنشهای اکسیداسیون مانگنتیت و کربن همچنین تکلیس سنگ آهک در طی یک دوره پخت گندله در اشکال (۱۴)، (۱۵) و (۱۶) نشان داده شده است.



شکل ۵: تغییرات متالیزاسیون بر حسب بازیستیه (آزمایش چسبندگی).

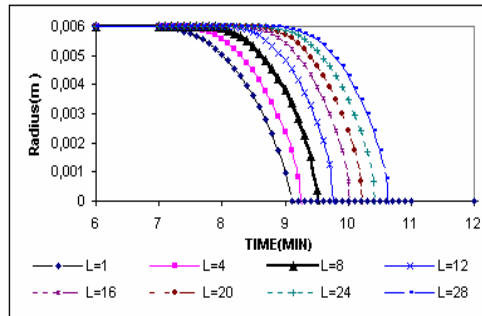


شکل ۶: تغییرات چسبندگی گندله ها بر حسب بازیستیه (B4).

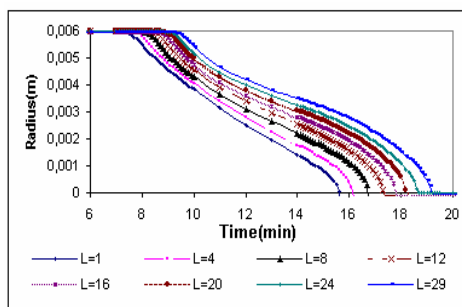


شکل ۷: درجه حرارت گاز در ارتفاعهای مختلف کوره بر حسب زمان.

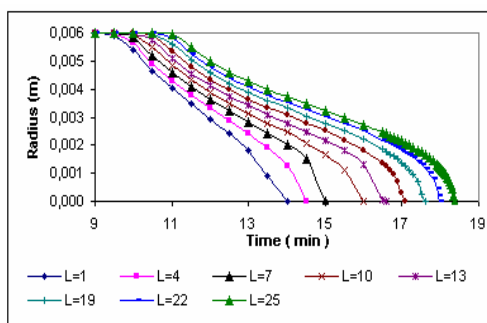
شکل (۷) درجه حرارت گاز بر حسب زمان در سطوح مختلف بستر در شرایط پایین به بالا را نشان می دهد. در شکل (۹) مقایسه درجه حرارت گاز خروجی از بالای بستر با نتایج تجربی در فاصله ۴۲ سانتیمتری از کف بستر نشان داده شده است. تغییرات درجه حرارت گاز خروجی بین ۳۵ تا ۵۰ درجه سانتیگراد می باشد. انرژی گاز صرف تبخیر آب در گندله ها شده است. همچنین در شکل (۸) درجه حرارت گندله ها با نتایج خروجی از مدل مقایسه شده است. بعد از مرحله Updraft آزمایش متوقف شده و با خارج نمودن گندله ها از کوره رطوبت گندله ها در مقاطع مختلف بستر اندازه گیری شد و با نتایج مدل مقایسه شده است. نتایج این مقایسه در شکل (۱۰) نشان



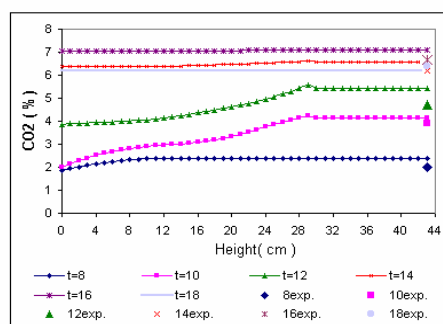
شکل ۱۴: شعاعی از گندله که سنگ آهک آن هنوز واکنش نکرده است در ارتفاعهای مختلف کوره بر حسب زمان نشان می‌دهد.



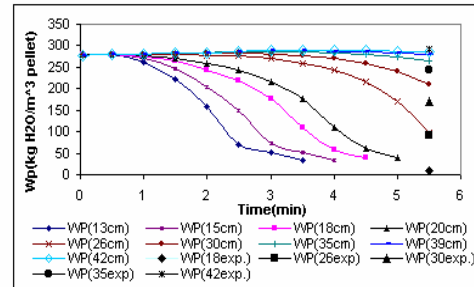
شکل ۱۵: شعاعی از گندله که ماقنیتیت آن هنوز واکنش نکرده است در ارتفاعهای مختلف بستر بر حسب زمان نشان می‌دهد.



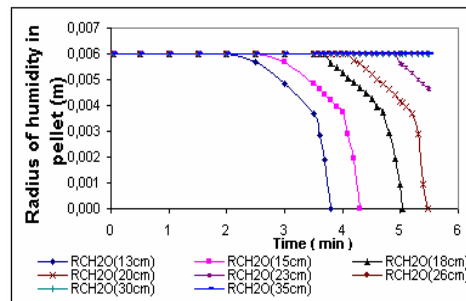
شکل ۱۶: شعاعی از گندله که کربن آن هنوز واکنش نکرده است در ارتفاعهای مختلف بر حسب زمان نشان می‌دهد.



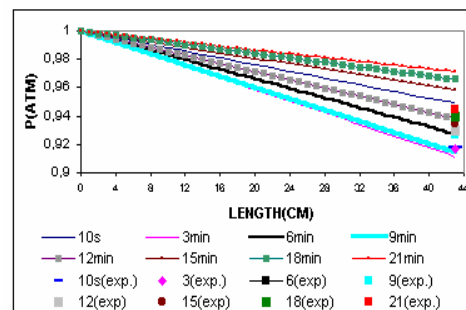
شکل ۱۷: مقایسه درصد  $CO_2$  در گاز خروجی از بستر با نتایج تجربی.



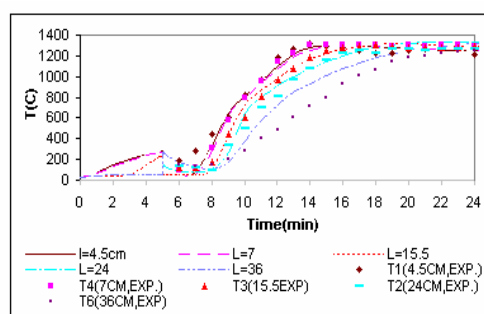
شکل ۱۰: مقایسه میزان رطوبت در گندله‌ها با نتایج تجربی.



شکل ۱۱: شعاع هسته مرطوب در گندله در ارتفاعهای مختلف بر حسب زمان.

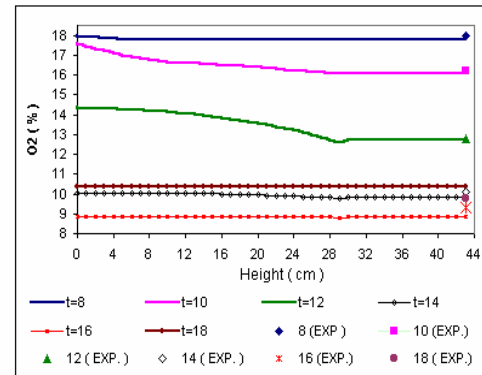


شکل ۱۲: مقایسه میزان افت فشار گاز با نتایج تجربی تا انتهای زمان فایرینگ.

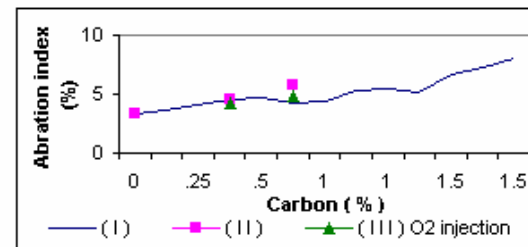


شکل ۱۳: مقایسه درجه حرارت گندله‌ها تا انتهای زمان فایرینگ در ارتفاعهای مختلف بر حسب زمان.

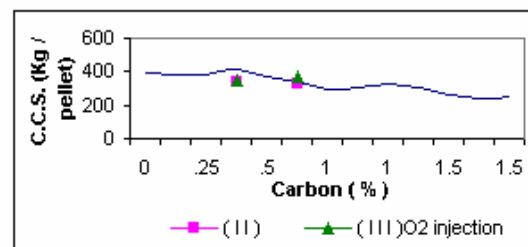
گازهای خروجی بدلیل اکسیداسیون کک و ماگنتیت در طی عبور از بستر کاهش می‌یابد. از آنجا که درصد  $O_2$  در انتهای ناحیه پخت در گاز خروجی از بستر به مقدار ۹ درصد کاهش می‌یابد و دلیل آن افزایش درجه حرارت گاز به حدود ۱۳۰۰ درجه سانتیگراد می‌باشد و سبب افزایش افت فشار گاز در مسیر مخصوصاً در حین عبور از بستر گندله‌ها می‌شود و دبی جرمی گاز عبوری از بستر کاهش می‌یابد. اگر ظرفیت بیشتری برای فن‌ها انتخاب می‌شود مشکلی ایجاد نمی‌شود. لذا در این راستا جهت ایجاد یک محیط اکسید کننده مناسب به کوره اکسیژن تزریق می‌شود تا کیفیت فیزیکی و شیمیایی گندله‌ها بهبود یابد. با نصب دبی سنج از نوع راتامتر، اکسیژن با دبی در حدود  $25\text{--}37 \text{ NM}^3/\text{hr}$  به کوره دمیده می‌شود و درصد  $O_2$  در گاز به بیش از ۱۵ درصد افزایش می‌یابد. با تزریق اکسیژن به کوره همانطوریکه در اشکال (۱۹) تا (۲۱) نشان داده شده است خواص فیزیکی و شیمیایی گندله‌ها بهبود نسبی می‌یابند. افزایش بیش از حد کک به گندله خواص فیزیکی و شیمیایی گندله را تحت تاثیر قرار داده بطوریکه میزان سایش را افزایش و استحکام گندله‌ها را کاهش می‌دهد. لذا لازم است میزان افزایش کک در محدود قابل قبول باشد. حداقل مقدار سایش قابل قبول ۷ درصد و حداقل استحکام<sup>۱۰</sup> قابل قبول ۲۵۰  $\text{Kg/pellet}$  می‌باشد. شکل (۱۹) نشان می‌دهد اگر درصد کربن در گندله کمتر از یک درصد باشد مقدار A.I. از ۴/۶ درصد کمتر خواهد شد و شکل (۲۰) نشان می‌دهد اگر درصد کربن در گندله به بیش از ۱/۱۵ درصد برسد میزان استحکام در گندله به ۳۰۰ کیلوگرم به ازای هر گندله کاهش می‌یابد. باید توجه داشت در مخلوط انتخاب شده مقدار درصد ماگنتیت در گندله به حدود ۱۵ درصد می‌رسد لذا میزان کک  $0\text{--}75$  درصد مناسب می‌رسد لذا میزان کک  $75\text{--}0$  درصد مناسب می‌باشد در این حالت خصوصیات فیزیکی و شیمیایی گندله حفظ شده است. بنابراین در مدل کامپیوترا مقدار کک برابر  $75\text{--}0$  درصد در نظر گرفته شده است و با نتایج تجربی مقایسه شده است. شکل (۲۱) افزایش مقدار تخلخل را بر حسب درصد کک را نشان می‌دهد. افزایش مقدار تخلخل در واحدهای احیاء مستقیم در تسهیل نفوذ گاز به داخل گندله موثر است و باعث افزایش متالیزاسیون می‌شود. تغییرات متالیزاسیون بر حسب درصد کربن در



شکل ۱۸: مقایسه درصد  $CO_2$  گاز خروجی از بستر با نتایج تجربی.

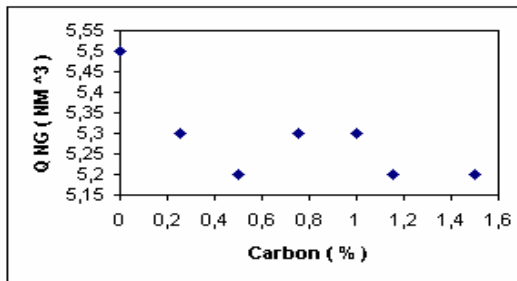


شکل ۱۹: درصد سایش گندله بر حسب درصد کربن (در سه حالت I, II, III).

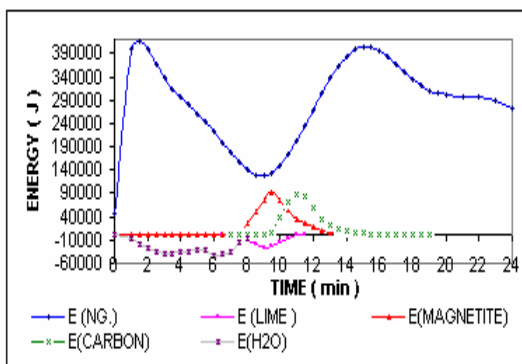


شکل ۲۰: میزان استحکام گندله بر حسب درصد کربن (در سه حالت I, II, III).

در اشکال (۱۷) و (۱۸) درصد  $O_2$ ,  $CO_2$  گازهای خروجی از دودکش با نتایج تجربی مقایسه شده است. درصد ترکیب  $CO_2$  در گاز بدلیل تکلیس سنگ آهک و اکسیداسیون کک در حین عبور از بستر افزایش می‌یابد. در مرحله Downdraft گاز در حین عبور از لایه Hearth layer بستر گندله‌های پخته واکنشی صورت نمی‌پذیرد و درصد ترکیب گاز ثابت می‌ماند. درصد  $O_2$  نیز در



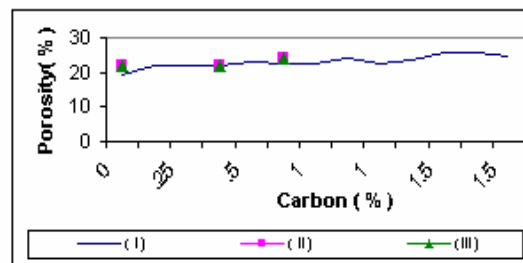
شکل ۲۴: کاهش مصرف گاز طبیعی در یک دوره پخت در پایلوت پلت بحسب درصد کربن (در حالت I).



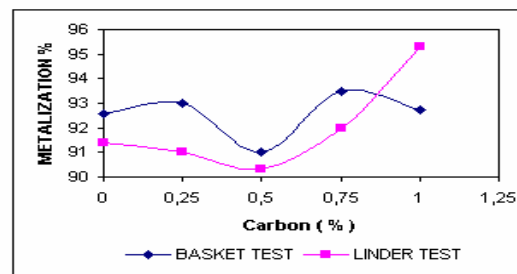
شکل ۲۵: توزیع انرژی مصرفی و تولیدی در پایلوت پلت در طی زمان یک دوره پخت.

شکل (۲۵) انرژی های تولیدی و مصرفی در طی پخت گندله از ابتدای مرحله خشک کردن گندله ها تا انتهای زمان فایرینگ را نشان می دهد. تبخیر رطوبت و تکلیس سنگ آهک همراه با جذب انرژی می باشد و انجام واکنشهای اکسیداسیون سنگ آهن ماقنثیت و کربن همراه آزاد شدن انرژی می باشند. سهم انرژی و زمان شروع و پایان هر واکنش شیمیایی و فیزیکی مشخص شده است. در ناحیه ای که واکنش های گرمaza انجام می شوند، مصرف گاز طبیعی کاهش یافته است. در آزمایشهای سری اول <sup>۱۱</sup> افزایش دمای بیش از حد در مرکز گندله ها سبب می شود که در داخل گندله ها یک هسته که درصد FeO آن نسبتاً بالا است و توسط آهن ربا قابل جذب است تشکیل شود. لذا با کاهش زمان فایرینگ افزایش دما در مرکز کاسته می شود و شرایط لازم جهت پخت گندله در دمای مناسب را ممکن می ساد. در آزمایشهای سری دوم <sup>۱۲</sup> علاوه بر کاهش دمای گاز ورودی به بستر زمان پخت نیز کاهش داده می شود. نتایج بدست آمده در ذیل آمده است.

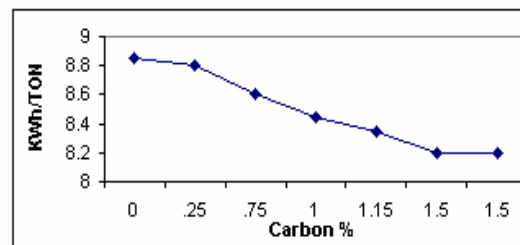
شکل (۲۶) توسط دو آزمایش Basket test در کوره های احیاء مستقیم و دستگاه آزمایشگاهی تست لیندر نشان داده شده است و بهبود نسبی یافته است. میزان انرژی از مصرفی جهت آسیاب مخلوط سنگ آهن وقتی عاری از کک است در حدود ۸/۸ KWh/ton درصد برسد میزان انرژی درصد کک در گندله به ۱/۵ درصد برسد کاهش می یابد. این کاهش انرژی ناشی از وجود کک بسیار نرم و کاهش بلین مخلوط استفاده شده می باشد. شکل (۲۶) میزان کاهش مصرف گاز طبیعی را در حالت اول که فقط درجه حرارت گاز ورودی به بستر کاهش داده شده است را برحسب درصد کربن در گندله نشان می دهد.



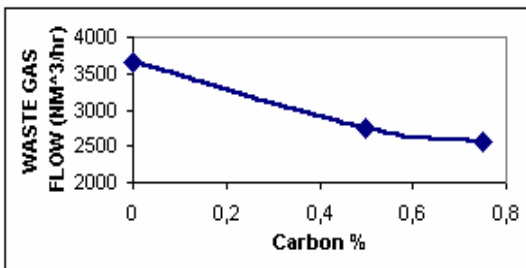
شکل ۲۱: افزایش درصد خلل و فرج گندله بر حسب درصد کربن (در سه حالت I, II, III).



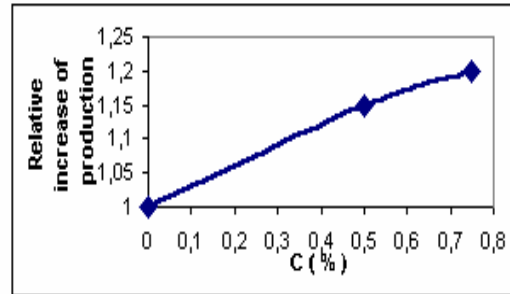
شکل ۲۲: مقایسه درصد متالیزاسیون آهن اسفنجی بر حسب درصد کربن (در آزمایش مرحله I).



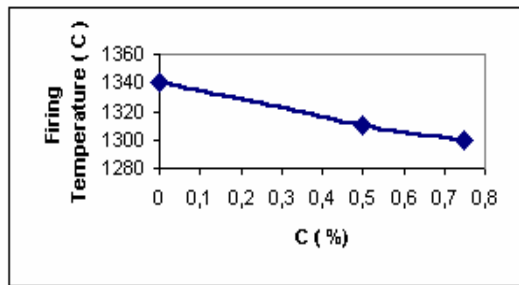
شکل ۲۳: کاهش مصرف برق آسیاب در اثر کاهش بلین موردنیاز برحسب درصد کربن.



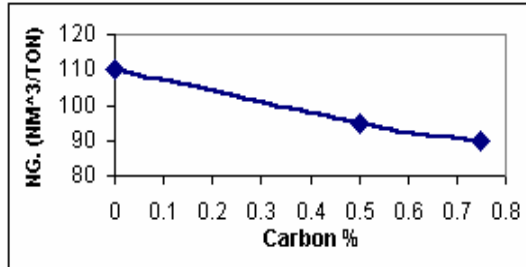
شکل ۲۸: کاهش تولید گاز دودکش در یک دوره پخت در پایلوت پلت بر حسب درصد کربن (در حالت II).



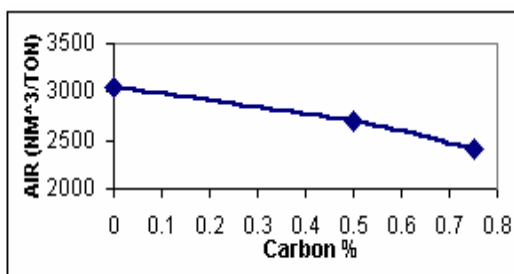
شکل ۲۹: افزایش نسبی تولید در پایلوت پلت بر حسب درصد کربن (در حالت II).



شکل ۳۰: کاهش درجه حرارت گاز ورودی به بستر بر حسب درصد کربن (در حالت III, II).



شکل ۲۶: کاهش مصرف گاز طبیعی در یک دوره پخت در پایلوت پلت بر حسب درصد کربن (در حالت II).

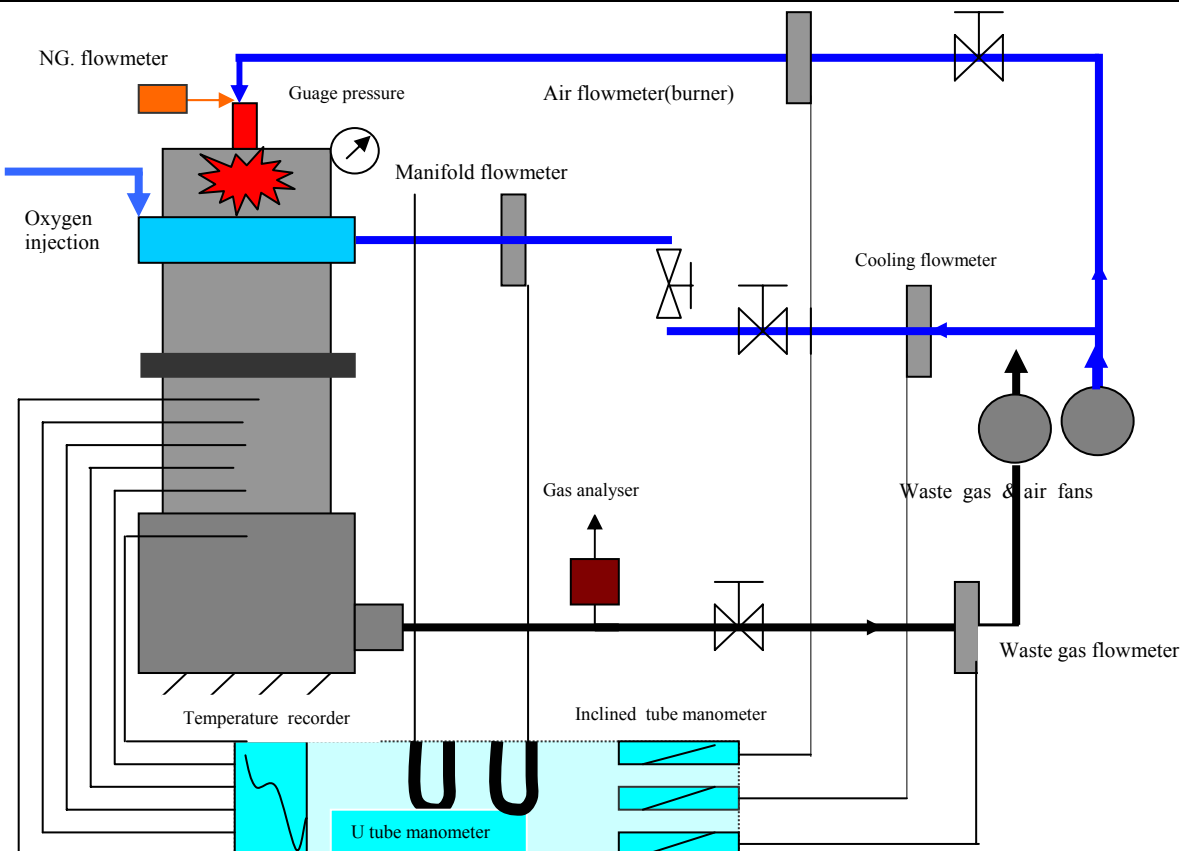


شکل ۲۷: کاهش مصرف هوا در یک دوره پخت در پایلوت پلت بر حسب درصد کربن (در حالت II).

کاهش مصرف انرژی ناشی از کاهش گاز طبیعی، هوا مصرفی و گازهای دودکش بر حسب درصد کربن در اشکال (۲۶)، (۲۷) و (۲۸) نشان داده شده است. کاهش مصرف انرژی الکتریکی برق بدیل کاهش حجم هوا و گاز دودکش سبب کاهش اثر گلخانه ای ناشی از گاز  $CO_2$  در محیط زیست می گردد. افزایش درصد  $CO_2$  سبب افزایش دمای کره زمین می گردد [۱۲]. کاهش زمان پخت در پایلوت پلت معادل حالتی است که در واحد گندله سازی سرعت Traveling grate افزایش می یابد. لذا می توان در واحد گندله سازی تناظر تولید را افزایش داد. میزان پتانسیل افزایش تولید بر حسب درصد کربن در شکل (۲۹) نشان داده شده است. در شکل (۳۰) میزان کاهش درجه حرارت گاز ورودی به بستر بر حسب درصد کربن نشان داده شده است. کاهش دمای ورودی به میزان ۴۰ درجه سانتیگراد نقش بسیار مهمی در کاهش تعمیرات پالت، گریت بارها و نسوز کوره دارد. افروزن کک در واحد گندله سازی بعد از آسیاب ها و قبل از دیسکهای گندله سازی با استفاده از یک فیدر مناسب ممکن می باشد.

## نتیجه گیری

مدل ارائه شده پدیده های انتقال حرارت، احتراق گاز، تبخیر آب، اکسیداسیون ماغнетیت، اکسیداسیون کربن و تکلیس سنگ آهک را در گندله همراه با محاسبات انرژی شبیه سازی نموده است. با استفاده از مدل، شروع و پایان هریک از واکنشهای شیمیایی و پدیده های فیزیکی، توزیع درجه حرارت در بستر و گندله ها بدست می آید. از نتایج تجربی پایلوت پلت جهت بررسی نتایج مدل استفاده می شود بعلاوه کیفیت گندله نیز چک می شود. مشخص گردیده است که درصد مناسب کک برای مخلوط انتخاب شده (همانیت و



Parameter	Waste fan	Air fan	1	2	3	4	5	6
Pressure (mbar)	60	60	-	-	-	-	-	-
Temperature (C°)	25-500	25	25	25	25	25-600	25	25
Flow (NM³/hr)	3720	1620	0-220	0-320	0-20	0-550	0-18	0-700
Density (kg/m³)	0.52	1.2	-	-	-	-	-	-

شکل ۳۱: دیاگرام جریان پایلوت پلت نیمه صنعتی شرکت فولاد خوزستان.

جدول ۱: خصوصیات فیزیکی و شیمیایی سنگ‌ها و افزودنیها.

Analyse(%)	Ferteco	C.V.R.D	Carajas	G.E.G	Chadermallo	Carbon	Bentonite	CaCO <sub>3</sub>
mixture(total)	20.30	23.70	20.30	3.40	28.10	1.00	0.70	2.50
Fe <sub>total</sub>	67.5	68	66.2	67.75	68	0	2.48	0
FeO	2.3	0.35	0.5	19.25	13.5	0	Fe <sub>2</sub> O <sub>3</sub> =3	0
SiO <sub>2</sub>	1.35	1.2	0.75	1.5	1.3	8	67.45	1.08
Al <sub>2</sub> O <sub>3</sub>	0.5	0.33	1.2	0.3	0.76	3.15	12.23	0.04
CaO	0.06	0.02	0.08	0.3	0.39	0.08	4.46	36.49
MgO	0.03	0.05	0.05	1.35	0.19	0.11	1.37	16.71
P	0.022	0.031	0.03	0.04	0.03	0	0	0
S	0.015	0.01	0.029	0.08	0.027	0.53	0	0
K <sub>2</sub> O	0	0	0	0	0	0	0.12	0
Na <sub>2</sub> O	0	0	0	0	0	0.25	2.22	0
C	0	0	0	0	0	79.5	0	0
Ash	0	0	0	0	0	14.22	0	0
L.O.I.	0	0	0	0	0	85.78	8.9	44.71

جدول ۲: خصوصیات فیزیکی و شیمیایی گندله های پخته شده (حالت I).

Test no.	1	2	3	4	5	6	7	8	9	10	11	12	13
Blaine(cm <sup>2</sup> /gr)	2133	1788	1982	1751	2118	2203	1825	1984	2207	2018	1842	1925	2078
Screen-45μ	81.5	81	80	82.3	80.8	79	75.8	77.6	74.3	81	78.4	84	82.4
Lime dolomit(%)	1.8	1.5	1.5	1.5	1.5	1.5	1.5	1.5	1.5	1.5	1.5	1.5	1.5
Bentonite(%)	0.7	0.7	0.7	0.7	0.7	0.7	0.7	0.7	0.7	0.7	0.7	0.7	0.7
Drop No.	5	3.5	3.6	3.6	3.1	4.1	3.2	3.2	3.3	4	3.3	3.2	3.5
Coke(%)	0	0	0.5	0.5	0.5	0.75	1	1	1	1.15	1.5	1.5	1.5
Firing temperature	1340	1340	1310	1310	1320	1300	1320	1310	1290	1290	1300	1290	1290
Abraction index (%)	3.3	3.7	4.5	4.5	4.7	4.2	4.4	5.3	5.5	5.1	6.7	7.2	8
Porosity(%)	19.5	21.8	21.9	21.9	22.9	22.6	22.7	23.1	22.5	23.4	25.9	25.6	24.9
C.C.S(Kg/Pellet)	394	385	417	417	376	340	300	303	324	307	262	242	252
Fe <sub>total</sub> (%)	67	67.03	66.72	66.72	66.8	67.1	67	67	66.8	66.8	66.6	66.4	66.8
FeO(%)	0.11	0.11	0.22	0.22	0.15	0.27	1.25	0.66	0.35	0.6	0.72	0.93	0.54
SIO <sub>2</sub> +AL <sub>2</sub> O <sub>3</sub> (%)	1.8	2.34	2.59	2.59	2.55	2.71	2.52	2.67	2.52	2.64	2.8	3.18	2.9
CaO+MgO(%)	1.7	1.87	1.47	1.47	1.98	1.02	1.71	1.22	1.8	2.02	1.1	1.44	1.73
P(%)	0.03	0.028	0.028	0.03	0.03	0.02	0.03	0.03	0.02	0.03	0.03	0.03	0.03

جدول ۳: خصوصیات فیزیکی و شیمیایی گندله های پخته شده (حالت II,III).

Condition	Second condition		Third condition ( oxygen injection)	
	1	2	3	4
Test no.	1958	1972	1930	2016
Blaine(cm <sup>2</sup> /gr)	80.5	80	84	80.4
Screen-45μ	1.5	1.5	1.5	1.5
Lime dolomit(%)	0.75	0.75	0.75	0.75
Bentonite(%)	0.5	0.75	0.5	0.75
Firing temp. ( C°).	1310	1310	1310	1300
Abration index(%)	4.6	5.2	4.6	5
Porosity(%)	21.9	24.1	24.9	24.8
C.C.S. (Kg/Pellet)	334	292	341	373
Fe <sub>tot</sub> (%)	67.05	66.8	66.93	66.92
FeO(%)	1.12	0.66	0.26	0.21

۵ - کاهش درجه حرارت گاز ورودی به بستر گندله ها از  $1340$  به  $1300$  درجه سانتیگراد. کاهش درجه حرارت

علاوه بر کاهش مصرف انرژی سبب افزایش عمر مفید گریت بارها، پالت ها و نسوز کوره می گردد و کاهش توقفات و تعمیرات واحد را سبب می گردد.

۶ - افزایش درصد خلل و فرج گندله سبب افزایش تولید

ماگنتیت) در حدود ۷۵٪ درصد می باشد و خصوصیات فیزیکی و شیمیایی گندله تغییر نخواهد کرد. اگر درصد کربن در گندله به بیش از ۱ درصد افزایش یابد خصوصیات فیزیکی و شیمیایی گندله تحت تاثیر قرار می گیرد. با استفاده از مدل و آزمایش‌های تجربی نتایج ذیل حاصل گردید.

۱ - افزایش ظرفیت تولید به میزان ۲۰٪

۲ - کاهش مصرف گاز طبیعی به میزان ۱۸٪

۳ - کاهش هوای مصرفی به میزان ۲۱٪ که سبب کاهش

مصرف برق به ازاء تن تولید برای فن هوا خواهد شد، علاوه سبب کاهش آلودگی زیست محیطی ناشی از گاز

$r^0_{Lime\ atm}$ : سرعت تجزیه سنگ آهک kmol/(one pellet.sec)	آهن اسفنجی در واحدهای احیاء مستقیم می شود.
$r^0_{mag}$ : سرعت اکسیداسیون مانگنیت kmol/(one pellet.sec)	
$r^0_{carbon}$ : سرعت اکسیداسیون کربن kmol/ (m <sup>3</sup> sec)	
atm : ثابت تعادل گازها	
m : شعاع گندله	
C° : درجه حرارت	
m : جهت محور یا ارتفاع بستر	
(kmol. M <sup>-3</sup> ) : غلظت ترکیب ز در گاز C <sub>j</sub>	
(kg <sub>H2O</sub> .m <sup>-3</sup> ) : رطوبت در فاز گاز W <sub>g</sub>	
(kg <sub>H2O</sub> .m <sup>-3</sup> ) : رطوبت گندله W <sub>p</sub>	
(kg.m <sup>-3</sup> ) : دانسیته گاز ρ <sub>g</sub>	
(m <sup>3</sup> gas/m <sup>3</sup> bed) : درصد خلل و فرج بستر ε	
(m <sup>3</sup> gas/m <sup>3</sup> pellet) : درصد خلل و فرج گندله ε	
	<b>فهرست علائم</b>
	a: سطح ویژه بستر
	C <sub>g</sub> : ظرفیت حرارتی گاز
	d <sub>p</sub> : قطر گندله
	D <sub>j</sub> : ضریب نفوذ مولکولی ترکیب ز در فاز گاز
	G: شدت جرمی گاز ورودی به بستر
	h: ضریب انتقال حرارت
	K <sub>eq</sub> : ثابت تعادل واکنش
	K <sub>p</sub> : ضریب انتقال حرارت هدایتی گندله
	K <sub>r</sub> : ضریب سرعت واکنش
	L: ارتفاع کل بستر گندله ها (کوره)
	N <sub>1</sub> : تعداد گندله به ازای واحد حجم بستر
	P : فشار گاز

**مراجع**

- 1 - Dianbing, H. and Lingtan, K. "A model for the process of firing iron ore pellet containing solid fuel." *ICHEME - 5 TH International Symposium on Agglomeration*.
- 2 - Chejne Janna, F., Ruiz Sierra, J. C. and Badie, J. M. (1996). "Mathematical model for energy saving in indurations of iron ore pellets." *Iron Making and Steel Making*, Vol. 23, No. 5, PP. 406-410.
- 3 - Holman, J. P. (1981). *Heat Transfer*, Mc Graw - Hill , Inc. PP. 139-145.
- 4 - Voskamp, J. H. and Brasz, (1975). "Digital simulation of the steady state behavior of moving bed processes." *Measurement and Control*, Vol .8, PP. 23-32.
- 5 - Wynnyckyj, J. R. and Batterham, (1985). "Iron ore sintering and pellet induration processes." In *4<sup>th</sup> International Symposium on Agglomeration, ISS-AIME*, Toronto, Canada, PP. 957,1994 .
- 6 - Jiangue, Xu, and Froment, G. F. (1989). "Methane steam reforming ; I &II diffusional limitation and Reactor simulations." *AIChe Journal*, Vol. 35, No. 1.
- 7 - Szekely, J. and Themelis, N. J. (1971). *Rate phenomena in process metallurgy*, chap.18, Newyork, Wiley Inter science.
- 8 - Kucukada, K., Thibault, J., Hodouin , D., Paquet, G. and Caron, S. (1999). "Modeling of a pilot scale iron ore pellet induration Furnace." *Canadian Metallurgical Quarterly*, Vol. 33, No. 1, PP. 1-12.
- 9 - Boss, K. H., Cappel, F. and Lurgi Gmb, H. (1986). "Methods to reduce energy consumption and increase specific production rates in the straight grate pelletizing process." *Metallurgical plant and Technology (MPT8)*, PP.12-25.
- 10 - Cross, M. and Blot, P. (1999). "Optimizing the operation of straight-grate iron ore pellet induration systems using process models." *Metallurgical and Materials Transaction B*, Vol. 30B, PP. 813.
- 11- Young, R. W., Cross, M. and Gibson, R. D. (1979). "Mathematical model of grate kilen cooler process used for indurations of iron ore pellets." *Iron Making and Steel Making*, No. 1.

**واژه های انگلیسی به ترتیب استفاده در متن**

- |                    |                       |                    |                   |
|--------------------|-----------------------|--------------------|-------------------|
| 1 – Pot Grate test | 2 – Hearth Layer      | 3 – Manifold       | 4 – Up Draft      |
| 5 – Down Draft     | 6 – Waste gas         | 7 – Abrasion Index | 8 – Porosity      |
| 9 – Sticking       | 10 – Cold Compression | 11 – Condition I   | 12 – Condition II |